

УДК 534.1

**ПРОСТРАНСТВЕННАЯ ЛОКАЛИЗАЦИЯ ВОЛН ДЕФОРМАЦИИ**

© Владимир Иванович Ерофеев, Алексей Олегович Мальханов

Нижегородский филиал федерального государственного бюджетного учреждения науки  
институт машиноведения им. А.А. Благонравова Российской академии наук  
[erf04@sinn.ru](mailto:erf04@sinn.ru)

*Аннотация.* Рассмотрены процессы локализации нелинейных волн деформации в элементах конструкций. Исследовано влияние магнитного поля на локализацию волны.

Формирование локализованной волны деформации, рост ее амплитуды по мере распространения представляются весьма важными проблемами [1], поскольку увеличение амплитуды может привести к достижению предела текучести, что, в свою очередь, способствует появлению зон пластичности или микротрещин в элементах конструкций.

В настоящей работе изучается влияние магнитного поля на процесс локализации нелинейной волны.

Рассмотрим распространение продольных волн в однородном, нелинейно-упругом стержне, находящемся во внешнем магнитном поле.

Будем полагать, что внешнее постоянное магнитное поле с напряженностью  $H_0$  перпендикулярно направлению распространения волн.

Суммарное магнитное поле состоит из его постоянного значения и возмущений, появляющихся в результате взаимодействия с полем деформаций

$$\vec{H} = H_0 \vec{n} + \vec{h}, \quad (1)$$

где  $\vec{n}$  – вектор нормали,  $\vec{h}$  – малое возмущение магнитного поля.

Для описания продольных колебаний стержня воспользуемся моделью Бишопа, учитывающей в дополнение к классической модели Бернулли, кинетическую энергию поперечных движений частиц стержня и потенциальную энергию сдвиговых деформаций [2].

Вектор перемещений содержит только одну (осевую) компоненту

$$\vec{u} = (u_1, 0, 0), \quad (2)$$

а, согласно сказанному выше, для векторов внешнего магнитного поля и его малого возмущения имеем:

$$\vec{H} = (0, 0, H_0 + h_3), \vec{h} = (0, 0, h_3). \quad (3)$$

Система уравнений магнитоупругости для стержня примет вид:

$$\left\{ \begin{array}{l} \frac{\partial G}{\partial \tau} - c_0^2 \left( 1 + \frac{6\alpha_1}{E} Q \right) \frac{\partial Q}{\partial x_1} - v^2 R^2 \frac{\partial^2}{\partial x_1^2} \left( \frac{\partial G}{\partial \tau} - c_\tau^2 \frac{\partial Q}{\partial x_1} \right) + \frac{1}{4\pi\rho} (H_0 + h_3) \frac{\partial h_3}{\partial x_1} = 0, \\ \frac{\partial Q}{\partial \tau} - \frac{\partial G}{\partial x_1} = 0, \\ \frac{\partial h_3}{\partial \tau} + (H_0 + h_3) \frac{\partial G}{\partial x_1} + G \frac{\partial h_3}{\partial x_1} - \frac{c^2}{4\pi\sigma} \frac{\partial^2 h_3}{\partial x_1^2} = 0. \end{array} \right. \quad (4)$$

Здесь  $G = \frac{\partial u_1}{\partial \tau}$ ,  $Q = \frac{\partial u_1}{\partial x_1}$ ,  $\nu$  – коэффициент Пуассона,  $R = \sqrt{J_0/F}$  – полярный радиус инерции,  $J_0 = \iint_F (x_2^2 + x_3^2) dF$  – полярный момент инерции,  $F$  – площадь поперечного сечения стержня,  $\lambda, \mu$  – модули упругости (константы Ламе) второго порядка,  $E = \frac{\mu(3\lambda + 2\mu)}{\lambda + \mu}$  – модуль Юнга,  $\alpha_1 = \frac{E}{2} + \frac{3\lambda}{2} + A + B(1 - 2\nu) + \frac{C}{3}(1 - 6\nu)$  – коэффициент упругой нелинейности,  $c_0 = \sqrt{E/\rho}$  – скорость распространения продольной волны,  $c_\tau = \sqrt{\mu/\rho}$  – скорость распространения сдвиговой волны,  $A, B, C$  – модули упругости (константы Ландау) третьего порядка,  $c$  – скорость света в вакууме,  $\rho$  – плотность материала,  $\sigma$  – проводимость,  $\tau$  – время.

Перейдем в системе (4) к безразмерным переменным

$$\begin{aligned} U = Q, V = \frac{G}{c_0}, W = \frac{h_3}{H_0} \\ \tilde{x}_1 = \frac{1}{vR} x_1, \quad \tilde{\tau} = \frac{c_0}{vR} \tau \end{aligned} \quad (5)$$

и введем движущуюся систему координат

$$x = \tilde{x}_1 - V_p \tilde{\tau}, \quad t = \varepsilon \tilde{\tau}, \quad (6)$$

где  $V_p$  – характерная скорость волн, заранее неизвестная,  $\varepsilon$  – малый параметр.

Подставим (5) и (6) в систему (4), сохраняя при этом члены с  $\varepsilon$  в степени, не выше первой, получим две системы уравнений:

$$\left\{ \begin{array}{l} -V_p \frac{\partial V}{\partial x} - \frac{\partial U}{\partial x} + \frac{c_A^2}{c_0^2} \frac{\partial W}{\partial x} = 0, \\ -V_p \frac{\partial U}{\partial x} - \frac{\partial V}{\partial x} = 0, \\ -V_p \frac{\partial W}{\partial x} + \frac{\partial V}{\partial x} = 0. \end{array} \right. \quad (7)$$

$$\left\{ \begin{array}{l} \frac{\partial V}{\partial t} - \frac{6\alpha_1}{E} U \frac{\partial U}{\partial x} + V_p \frac{\partial^3 V}{\partial x^3} + \frac{c_\tau^2}{c_0^2} \frac{\partial^3 U}{\partial x^3} + \frac{c_A^2}{c_0^2} W \frac{\partial W}{\partial x} = 0, \\ \frac{\partial W}{\partial t} + W \frac{\partial V}{\partial x} + V \frac{\partial W}{\partial x} - \frac{c^2}{4\pi\sigma c_0 vR} \frac{\partial^2 W}{\partial x^2} = 0. \end{array} \right. \quad (8)$$

которые являются соответственно нулевым и первым приближением системы (4) в новых переменных.

Здесь  $c_A = \sqrt{H_0^2 / 4\pi\rho}$  – скорость волны Альфвена [3].

Из второго и третьего соотношений системы (7) получим связь между функциями:

$$U = -W, V = -V_p U,$$

а из первого соотношения определим значение скорости: (9)

$$V_p = \sqrt{1 + \frac{c_A^2}{c_0^2}}. \tag{10}$$

Подставляя (9) и (10) в (8) и складывая полученные уравнения системы (8), преобразуем её к уравнению:

$$\frac{\partial U}{\partial t} - \alpha U \frac{\partial U}{\partial x} + \beta \frac{\partial^3 U}{\partial x^3} - \delta \frac{\partial^2 U}{\partial x^2} = 0, \tag{11}$$

где  $\alpha = \frac{c_A^2}{c_0^2} - \frac{6\alpha_1}{E} + 2V_p$ ,  $\beta = \frac{V_p^2 - \frac{c_A^2}{c_0^2}}{1 + V_p}$ ,  $\delta = \frac{c^2}{4\pi\sigma c_0 \nu R (1 + V_p)}$ .

Уравнение (11) носит название уравнения Кортевега – де Вриза – Бюргерса [4]. Оно имеет решение в виде локализованной волны (кинка):

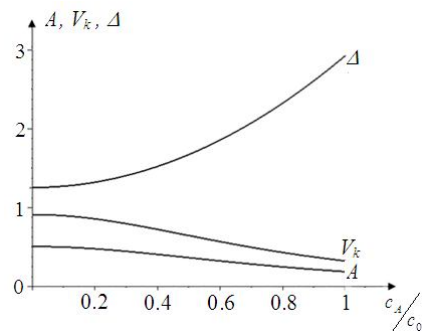
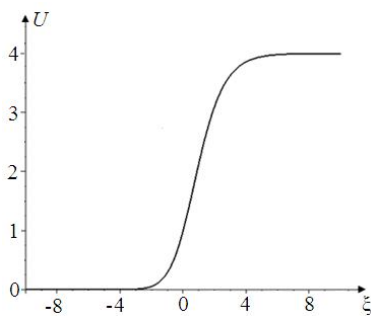
$$U = A \exp(\xi) \operatorname{sech}^2\left(\frac{\xi}{2}\right),$$

$$\xi = \xi_0 (x - 2at), \xi_0 = \sqrt{-\frac{a}{3\beta}},$$

$$a = -\frac{3\delta^2}{25\beta}, A = -\frac{a}{\alpha}, V_k = 2a, \Delta = \frac{2}{\xi_0}. \tag{12}$$

На рис. представлен профиль локализованной волны (12) (а) и изображены зависимости амплитуды (A), скорости ( $V_k$ ) и ширины ( $\Delta$ ) этой волны от напряженности магнитного поля (б).

Для конденсированных сред в магнитных полях до 10 Тл скорость волны Альфвена меньше скорости распространения продольной волны [5], поэтому изменение параметров представлено на интервале  $0 \leq c_A^2 / c_0^2 < 1$ .



Из рис. видно, что с увеличением напряженности внешнего магнитного поля амплитуда и скорость локализованной волны убывают, в то время как ее ширина возрастает.

Работа выполнялась при финансовой поддержке РФФИ (грант № 11-08-97066-р\_поволжье).

### Литература

- [1] Порубов А.В. Локализация нелинейных волн деформации. М.: Физматлит, 2009. 208 с.
- [2] Ерофеев В.И., Кажаяев В.В., Семерикова Н.П. Волны в стержнях. М.: Физматлит, 2002. 208 с.
- [3] Селезов И.Т., Корсунский С.В. Нестационарные и нелинейные волны в электропроводящих средах. Киев: Наукова думка, 1991. 200 с.
- [4] Додд Р., Эйлбек Дж., Гиббон Дж., Моррис Х. Солитоны и нелинейные волновые уравнения. М.: Мир. 1988. 694 с.
- [5] Физико-химические процессы обработки материалов концентрированными потоками энергии / Под ред. Углова А.А. М.: Наука. 1989.

*Поступила: 12.04.12.*